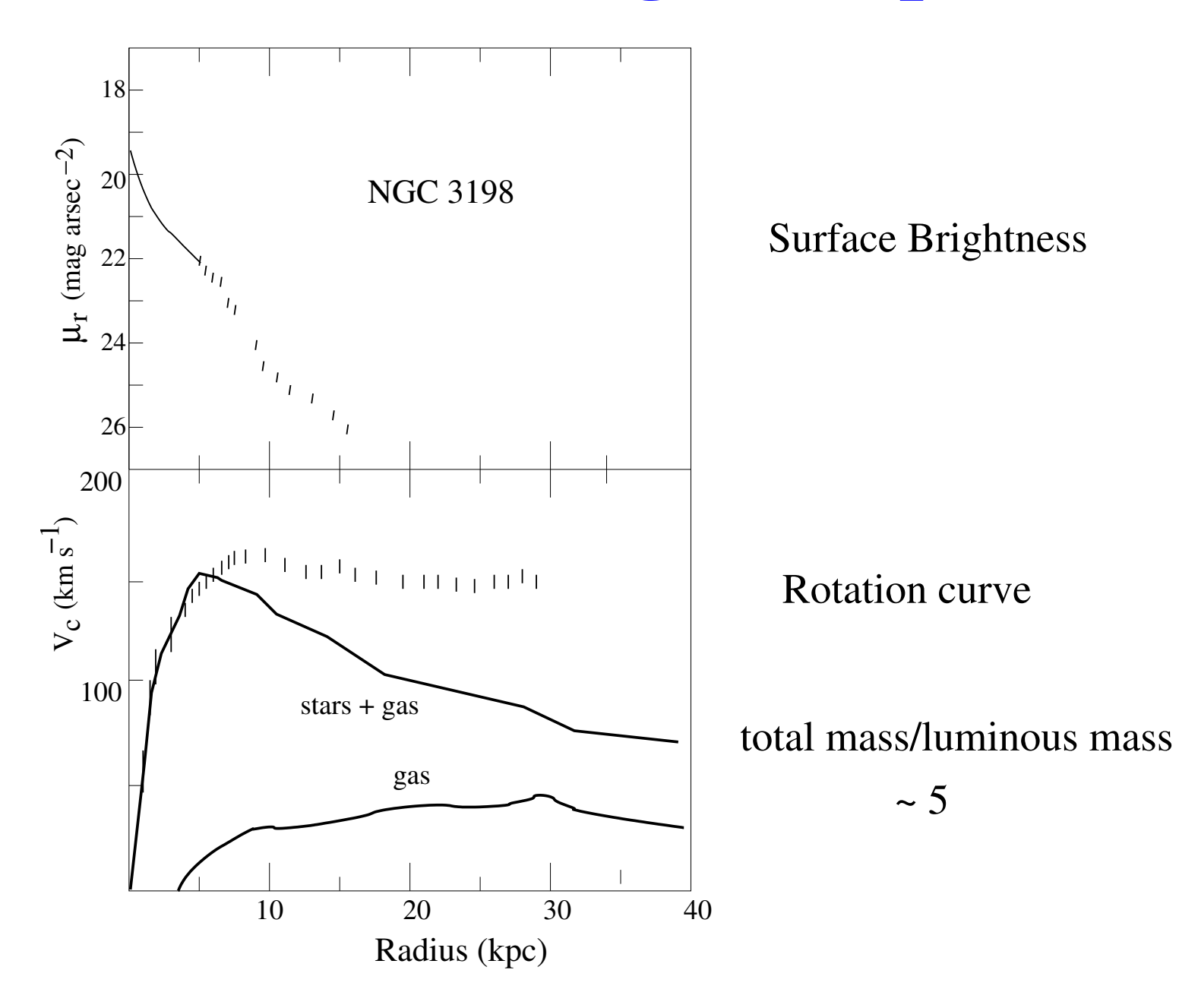
Les derniers résultats d'EROS 2

Clarisse Hamadache
CEA Saclay/DAPNIA

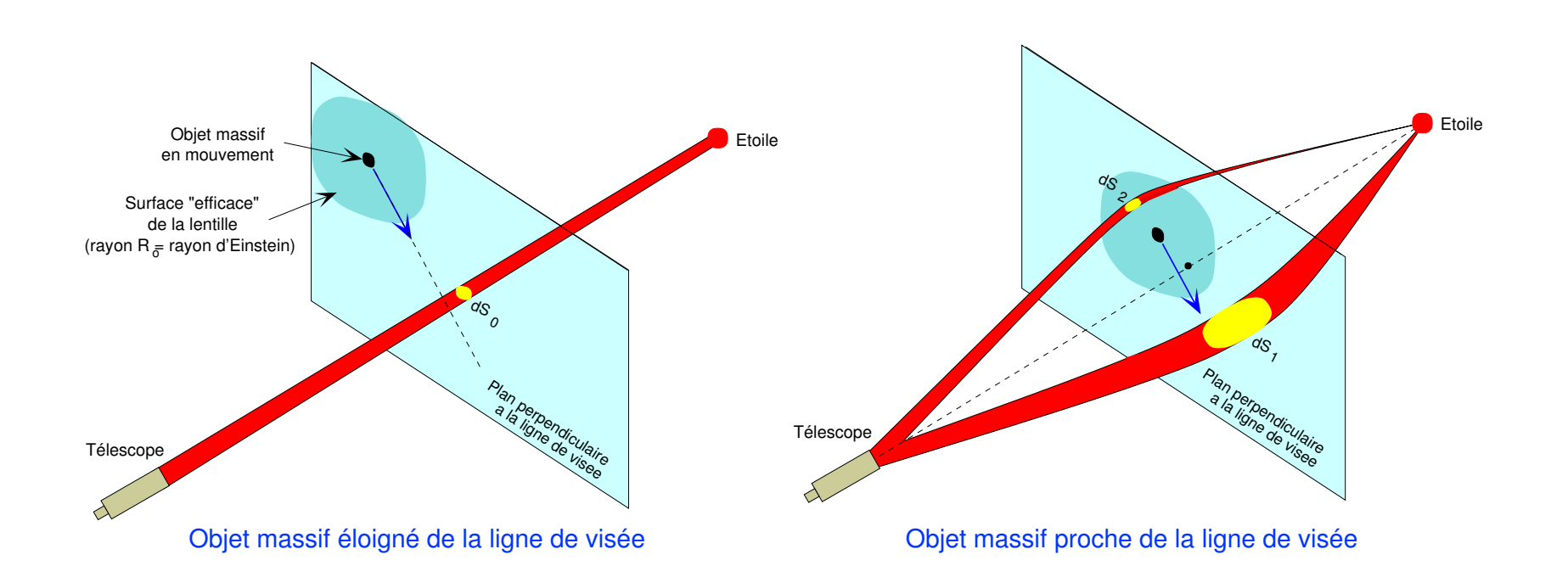
Plan

- Eros 2 : motivation
- Effet de microlentille gravitationnelle
- Eros 2 : Instrument et données
- Analyse des données du centre galactique
- Résultats (centre galactique et Nuages de Magellan)

Matière noire galactique



Microlentille gravitationnelle

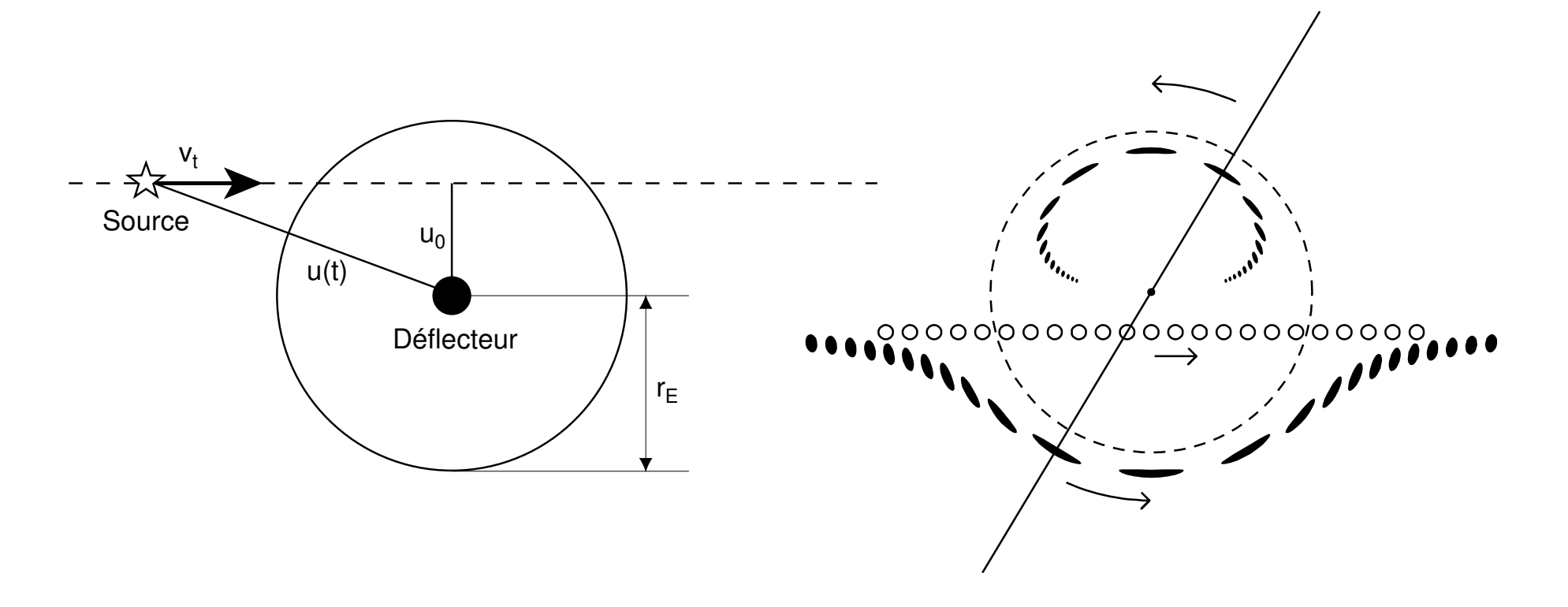


amplification totale
$$A=A_++A_-=\frac{u^2+2}{u\sqrt{u^2+4}}>1 \qquad u=b/R_E$$
 rayon d'Einstein
$$R_E=\sqrt{\frac{4GM}{c^2}\frac{D_l(D_s-D_l)}{D_s}}$$

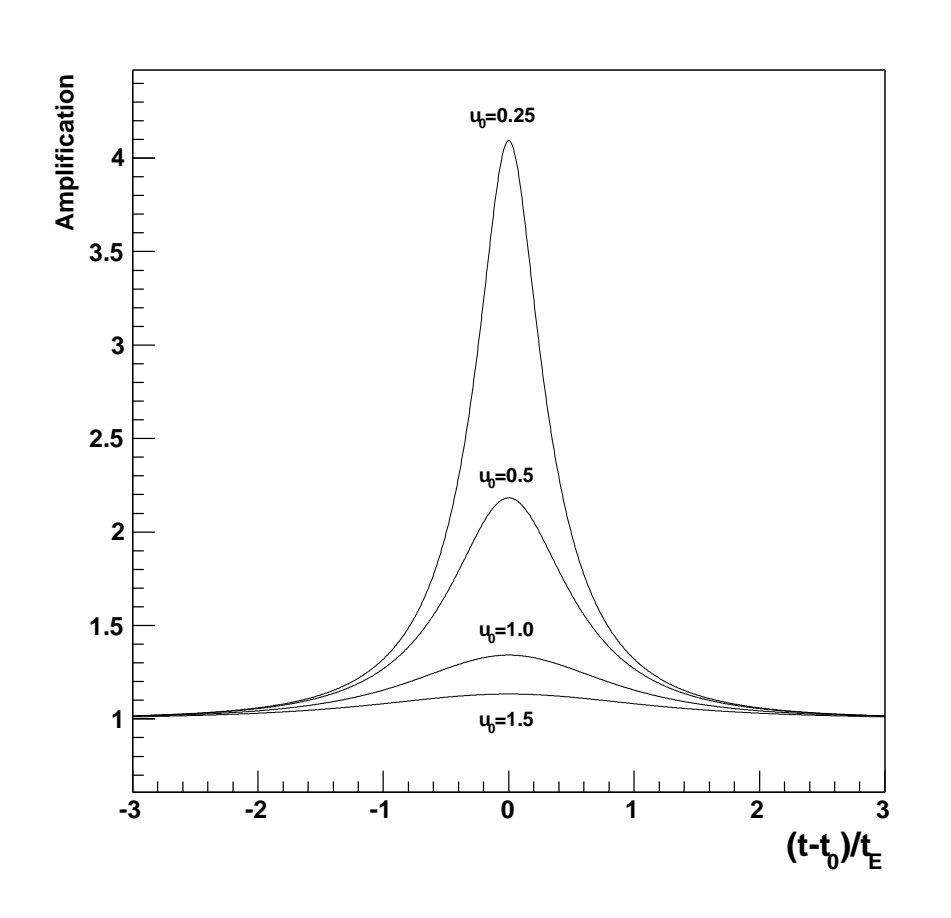
Effet de microlentille : dynamique

lentille et source en mouvement relatif

$$u(t) = \sqrt{u_0^2 + \frac{v_t(t - t_0)^2}{r_E^2}} \quad t_E = \frac{r_E}{v_t}$$



Courbe de lumière



échelle de temps t_E

$$t_{\rm E} = \frac{R_E}{v_t} = \sqrt{M} f(D_l, D_s, v_t)$$

A > 1.34 pour u < 1

Signal symétrique et indépendant de la longueur d'onde.

Profondeur optique:

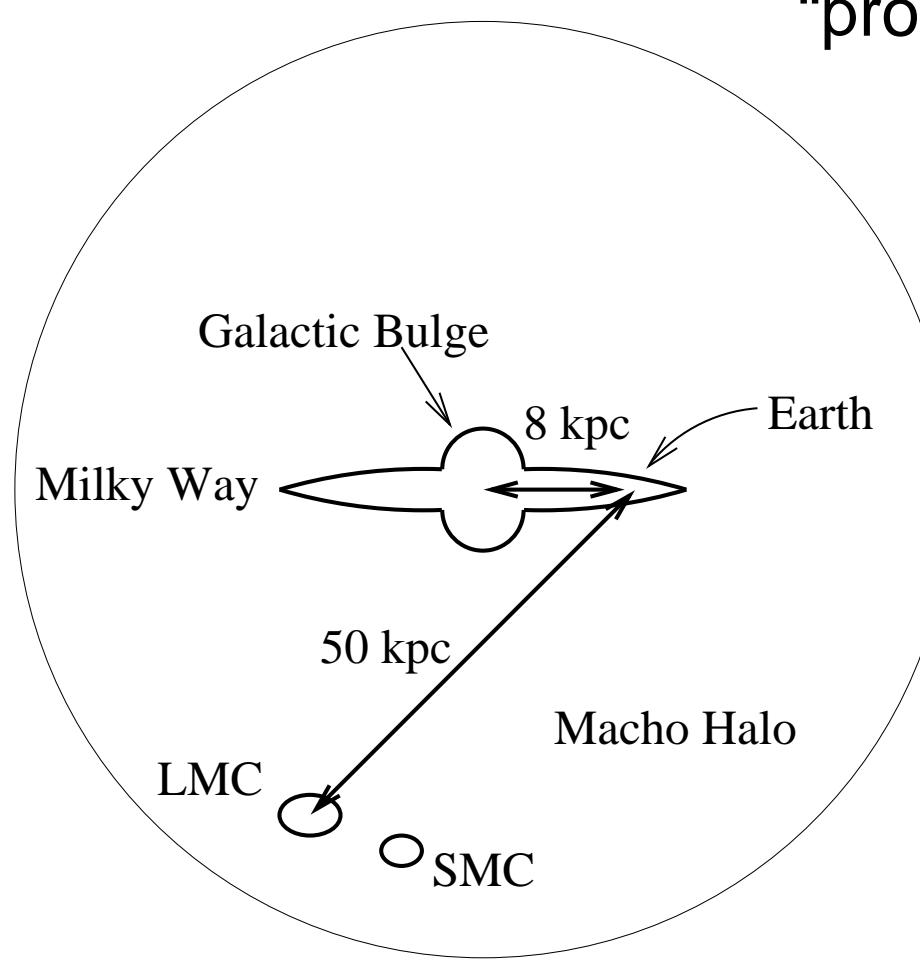
probabilité qu'à un instant donné une étoile source subisse un effet de microlentille induisant une amplification apparente de flux de l'étoile de plus de 34% (i.e. $u_0<1$)

= probabilité que la ligne de visée vers une source donnée traverse le disque d'Einstein d'une lentille

$$\tau = \frac{4\pi G}{c^2} \int_0^{D_s} \rho_l \frac{D_l(D_s - D_l)}{D_s} dD_l$$

au dépend de la densité de lentilles dans la région sondée et de la distance de la source et des déflecteurs

Détection d'objets compacts



"profondeur optique" = probabilité pour

$$A > 1.34 \quad (u_0 < 1)$$
: $\tau = \int dr \; n(r) \pi R_E^2$

Centre Galactique

lentilles = étoiles normales
$$\tau \sim (1-2) \times 10^{-6}$$

Nuages de Magellan

lentilles = hypothétiques machos
$$\tau \sim 5 \times 10^{-7}$$

EROS-2 : Expérience de Recherche d'Objets Sombres

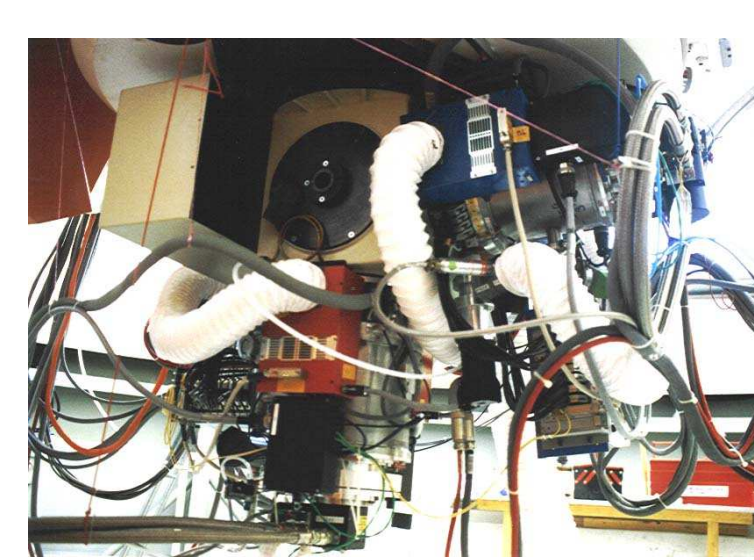
- télescope Marly Ø 1 m, ESO LaSilla (Chili)
- 2 cameras CCD ($2 \times 1 deg^2$)

2 mosaïques de 8 CCDs, 2048 × 2048 pixels

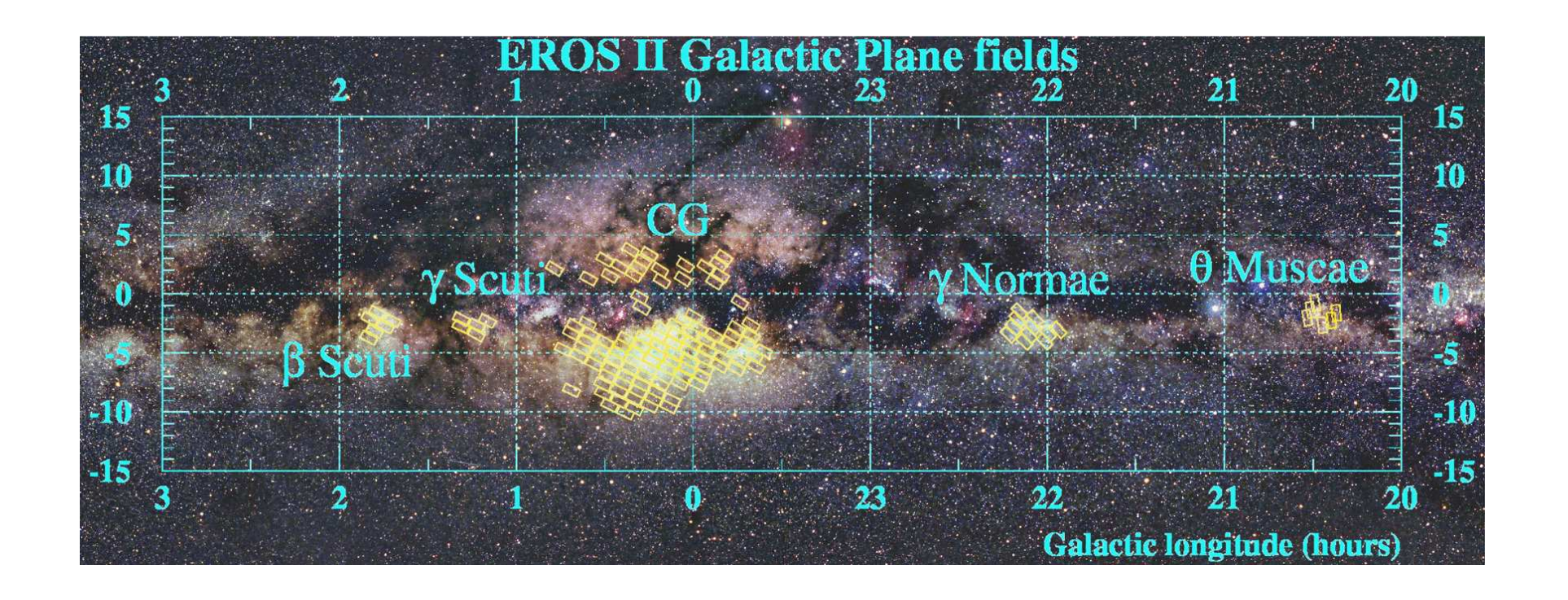
- Prise de données : 1996-2003
 - → 50 teraoctets de données

2 filtres dits "rouge et bleu"



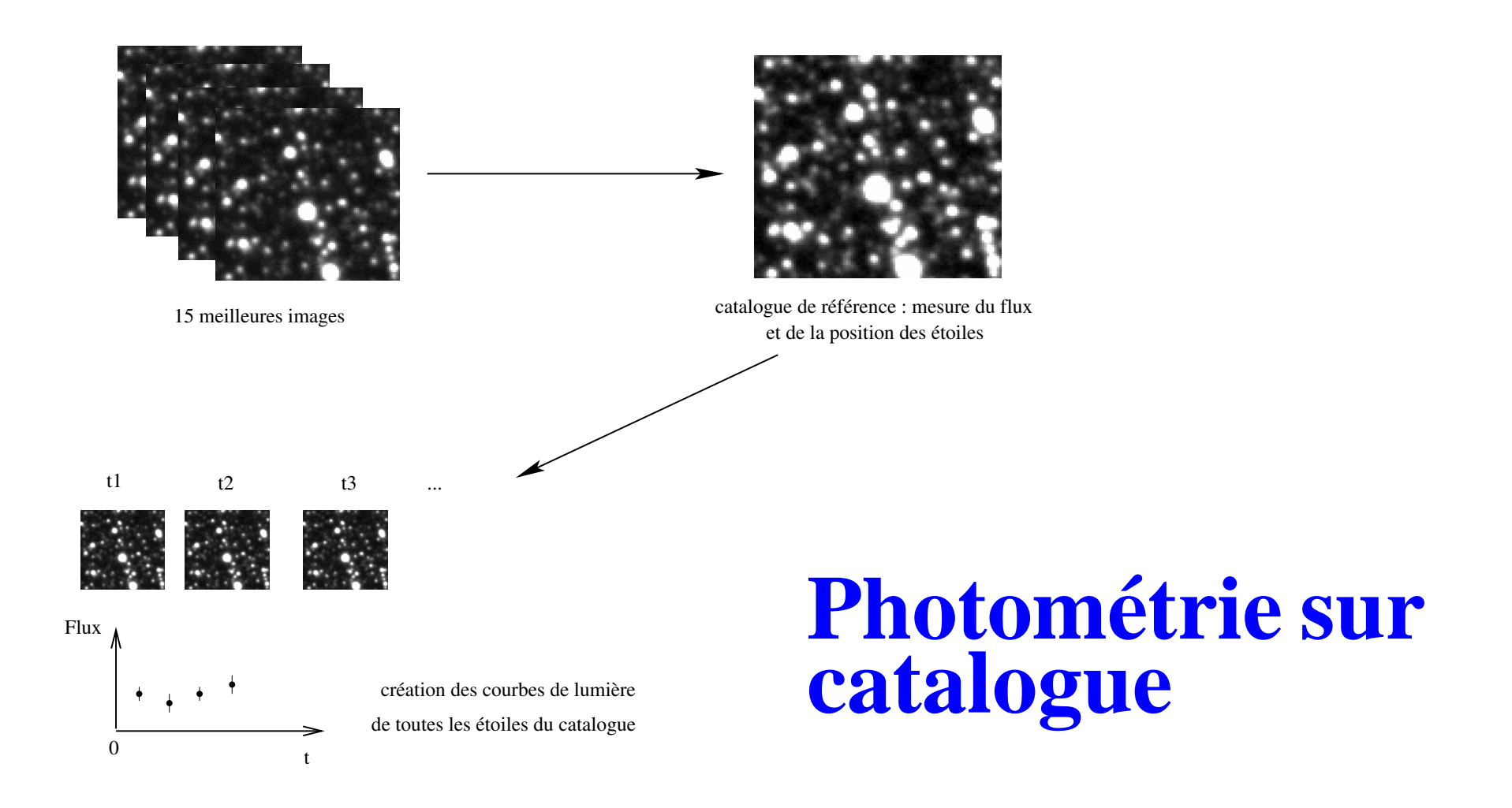


EROS-2: champs du plan galactique



Centre Galactique observable entre février et octobre

Photométrie: principe

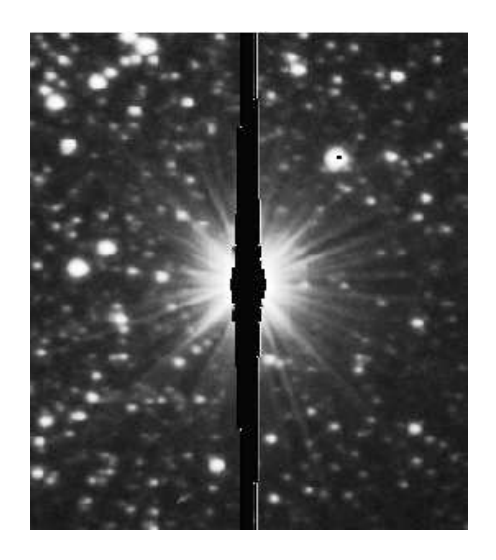


Photométrie en champs encombrés

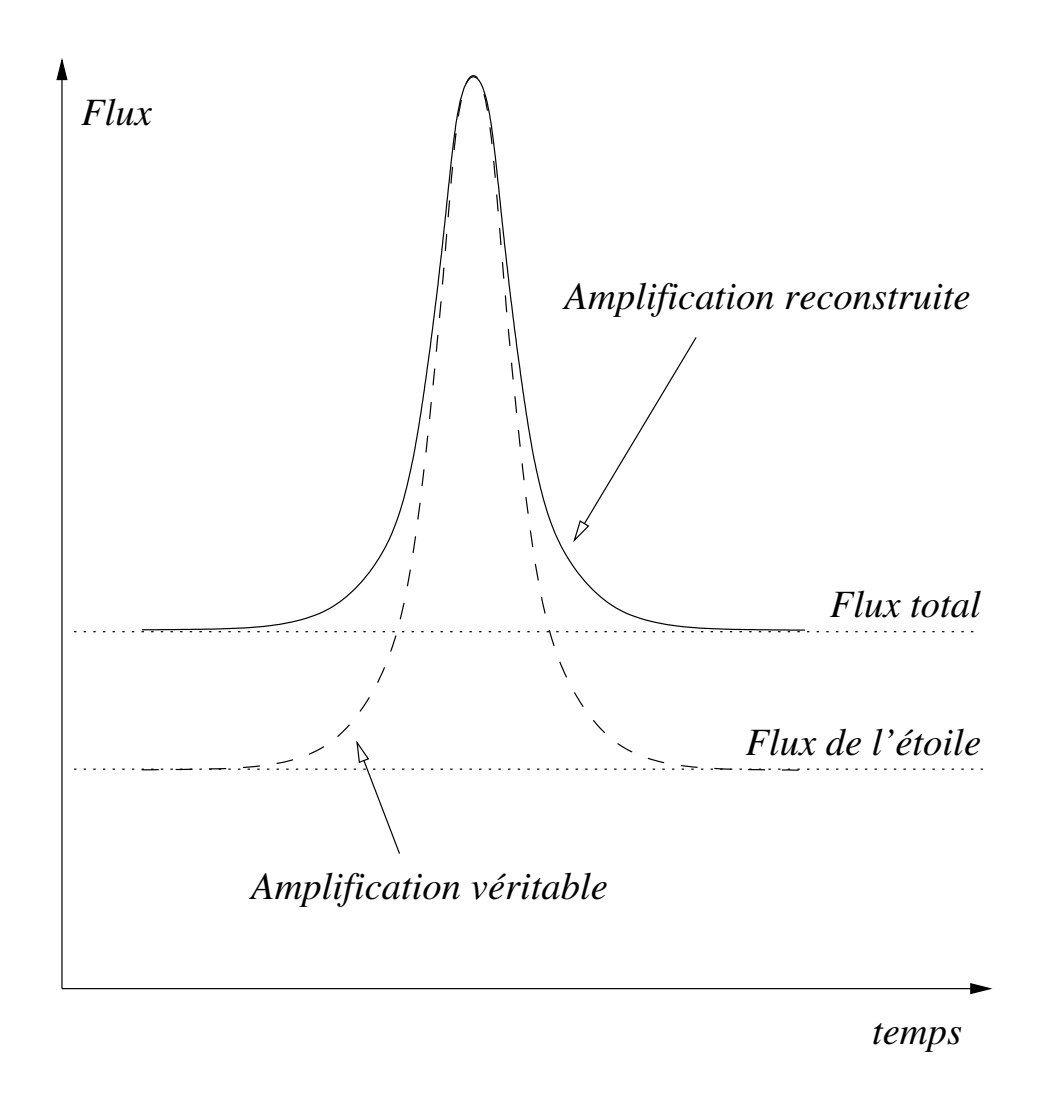
66
$$m deg^2$$
 (6 ans) \Rightarrow

 \sim 50 million d'étoiles \sim 1000 mesures par étoile (\sim 500 par couleur)

ightharpoonup ~ 4 To (images CCD), ~ 3 To (courbes de lumières)



Effet de confusion ("blending")

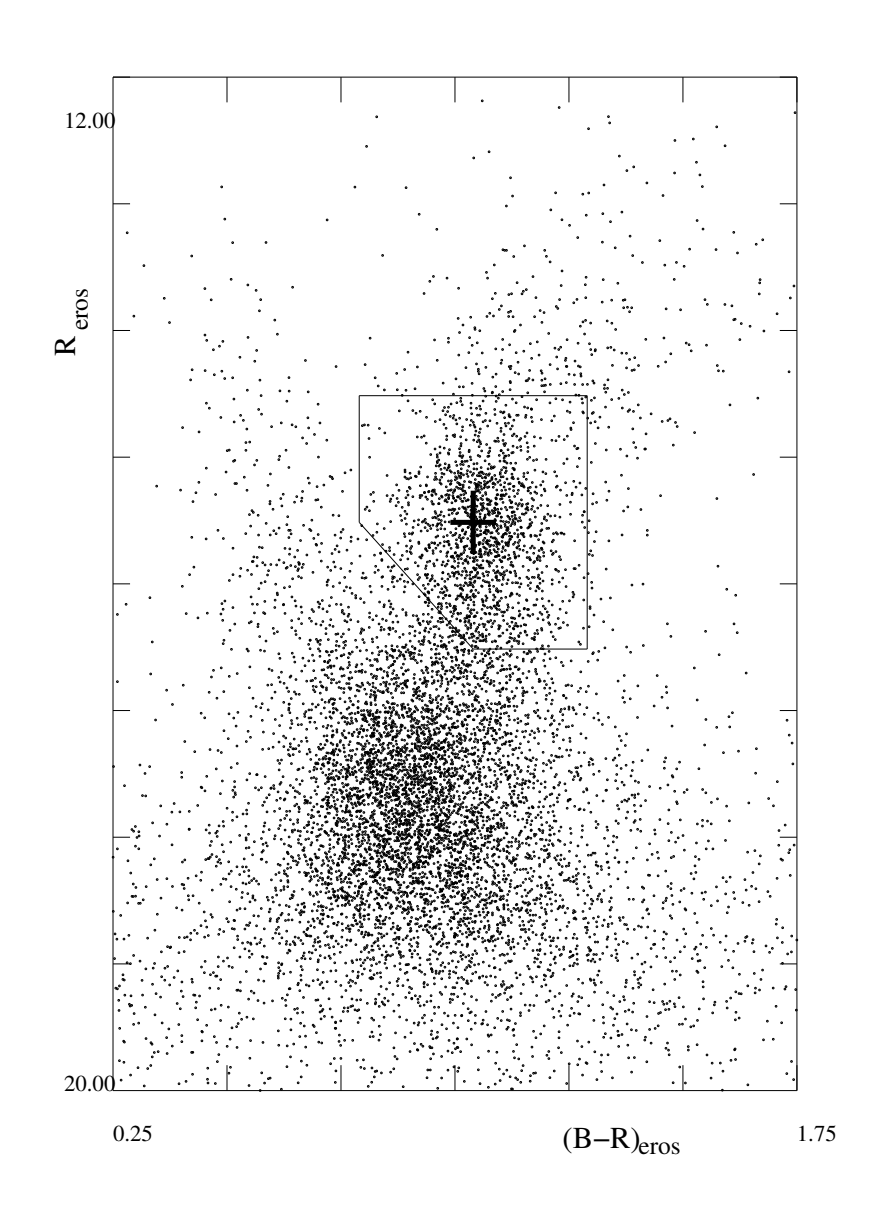


amplification sous-estimée

 t_E sous-estimé

étoile brillante => effet négligeable

Sélection des étoiles sources

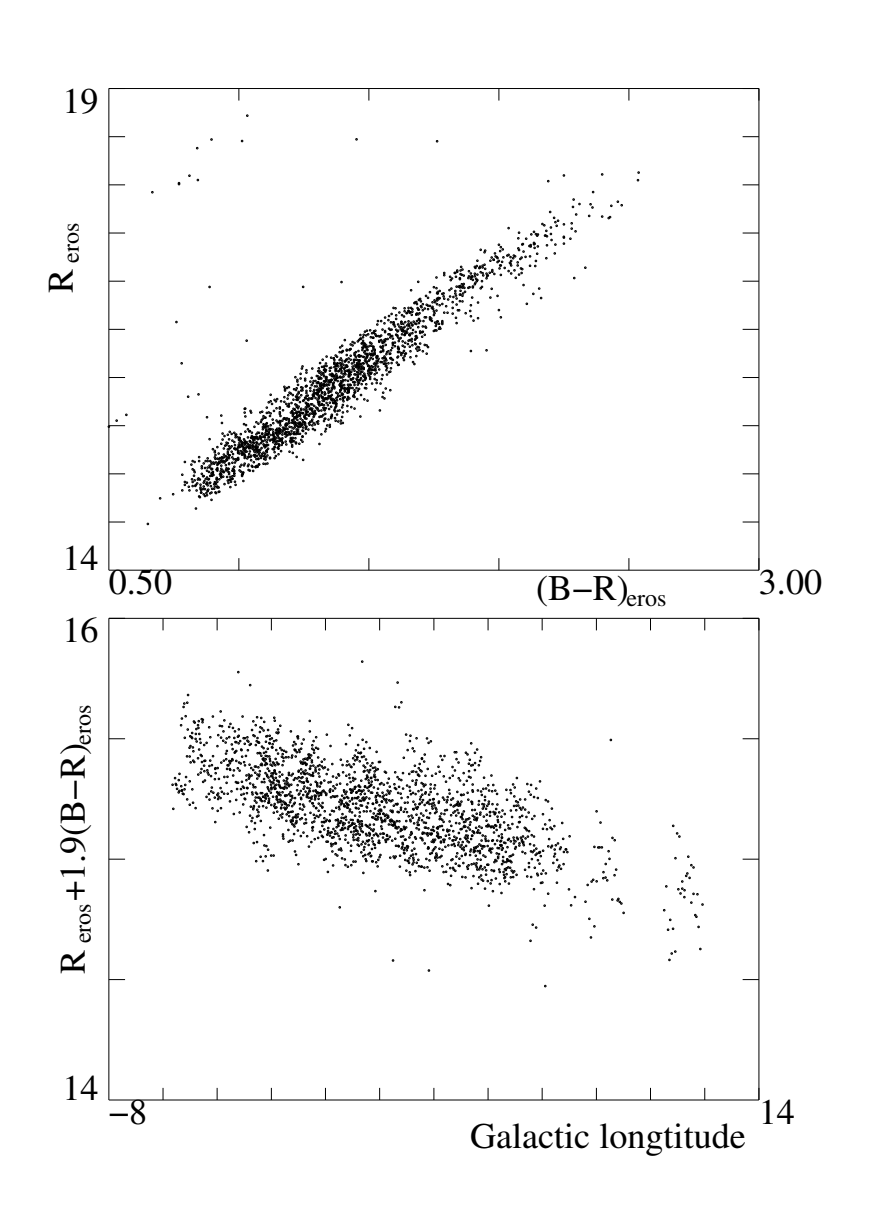


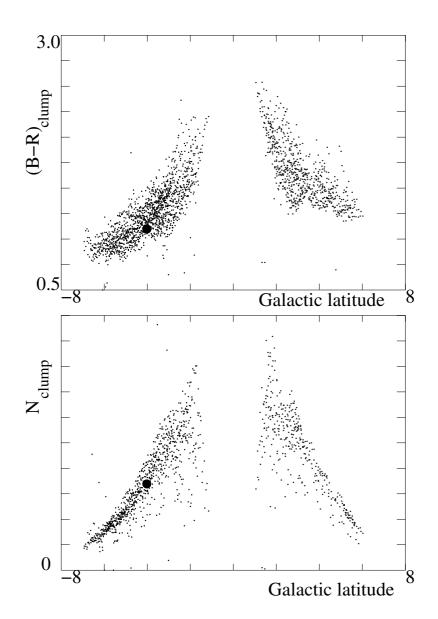
champs encombrés, distance des sources inconnue sources = étoiles géantes rouges

5.6×10⁶ étoiles dans la région du *clump* sélectionnée (total pour les 66 champs)

Diagramme couleur-magnitude typique

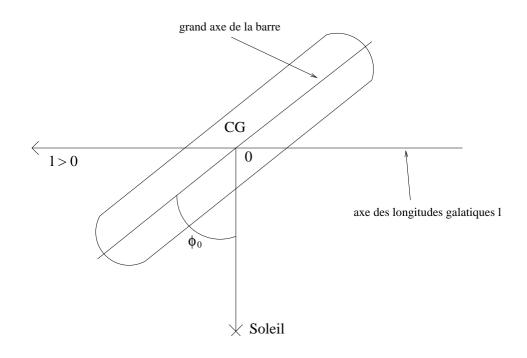
Le "Clump"





Clarisse Hamadache, CPPM, 22 mai 2006 – p.15/40

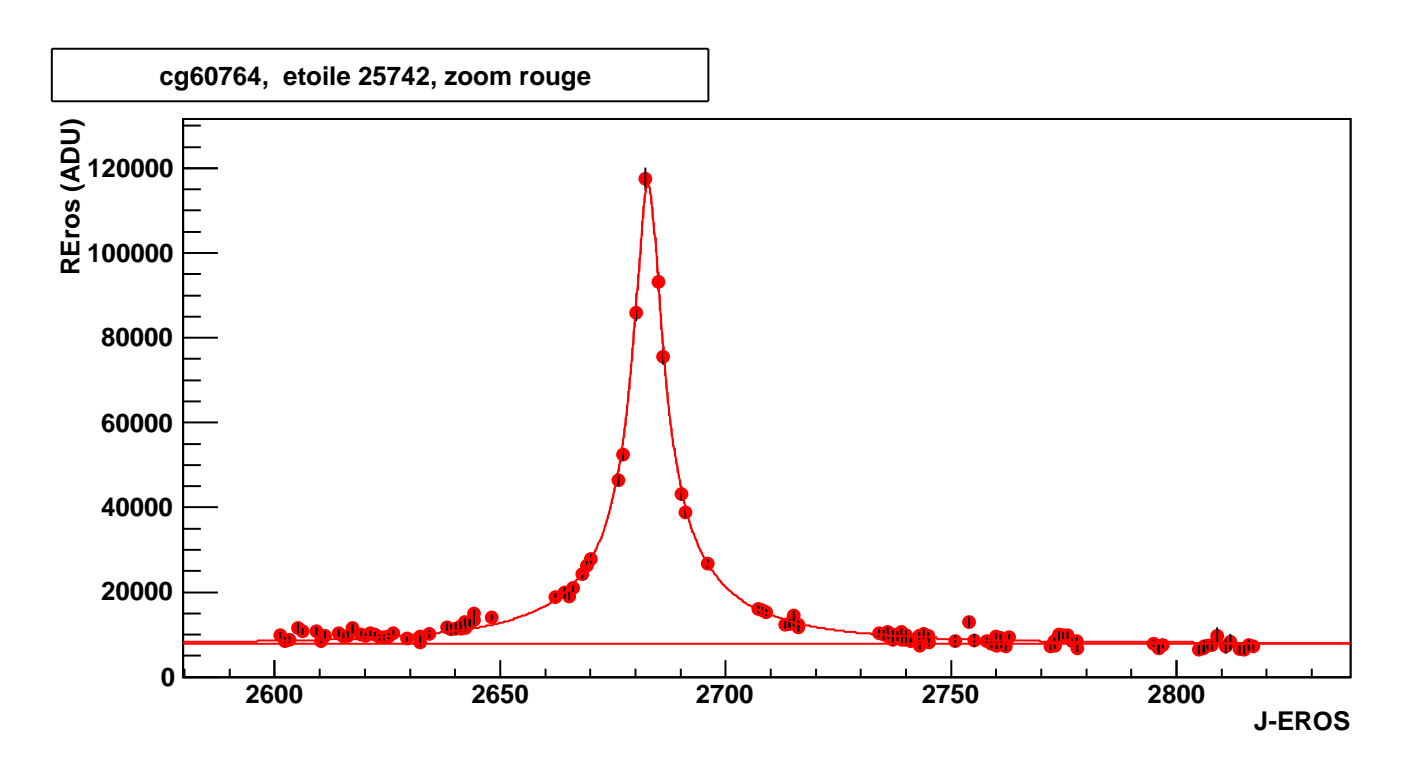
La barre galactique



bulbe en forme de barre

Recherche des candidats

- détermination d'une ligne de base
- recherche de fluctuations significatives et positives
- ajustement des fluctuations par une courbe de Paczýnski
- ightharpoonup => coupures sur les paramètres u_0, t_E, t_0 , sur le χ^2 de l'ajustement et tests d'achromaticité

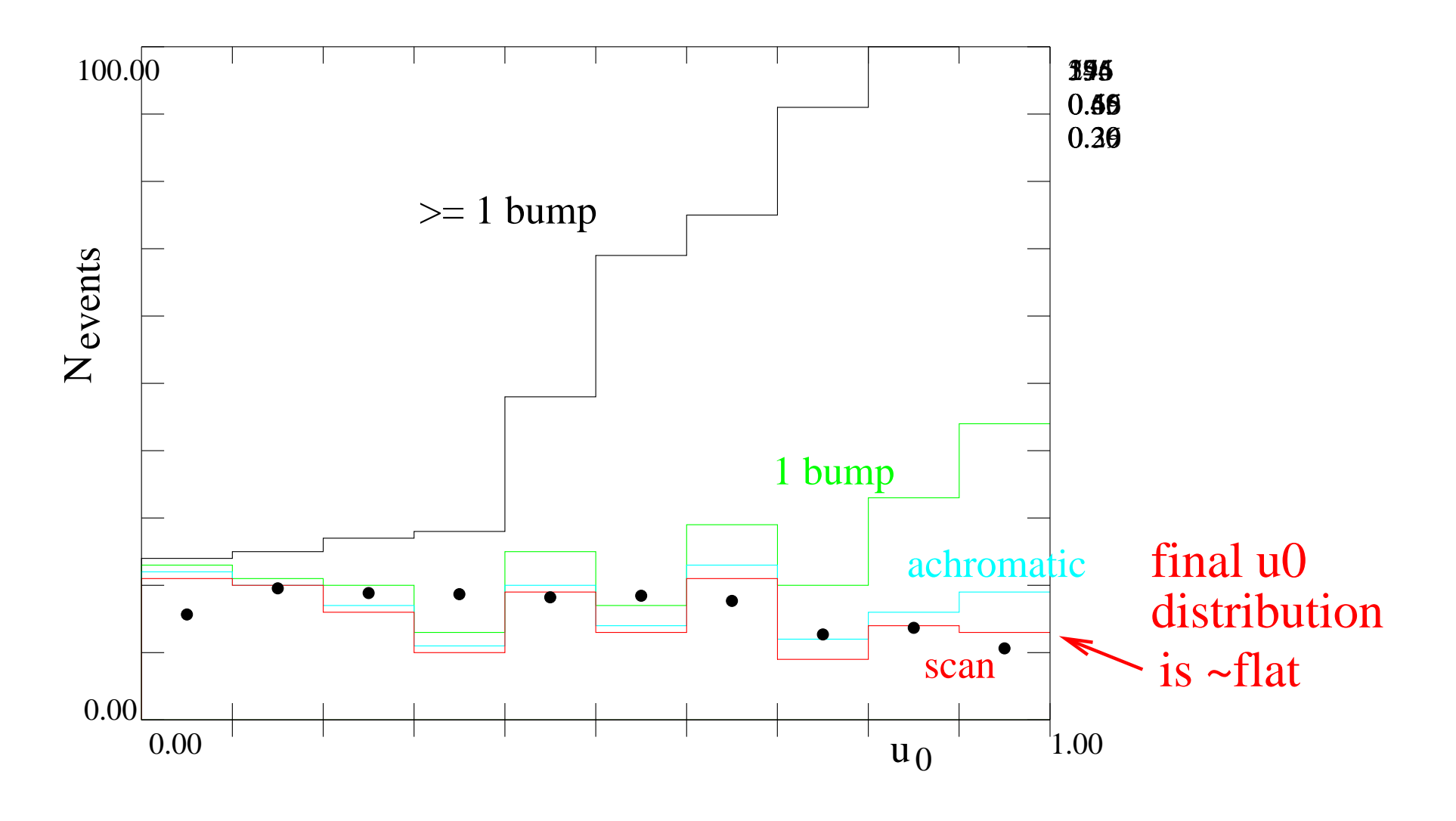


Coupures de sélection

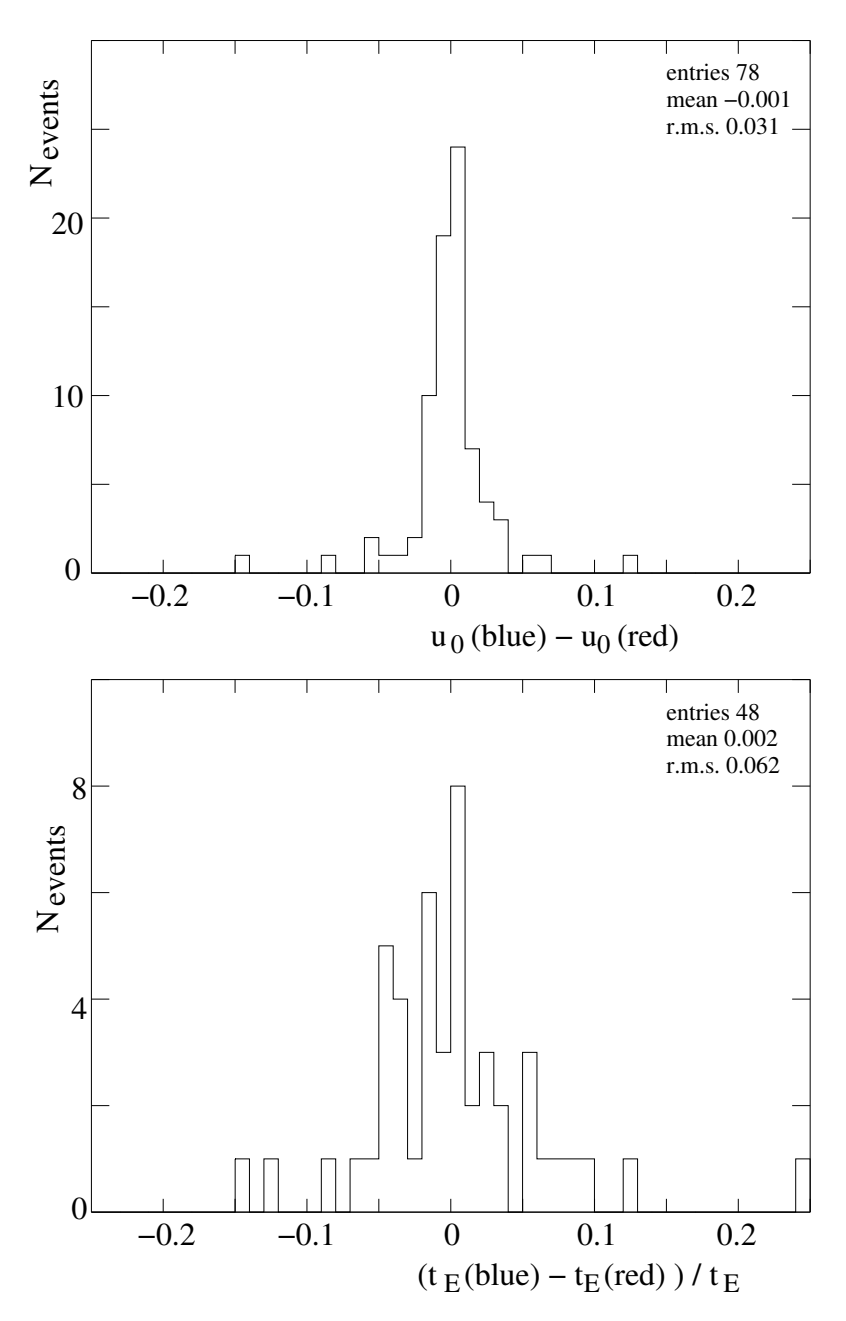
- **9** C1: $t_0 \in \text{saisons d'observation}$
- C2 : t_E < 400 jours
- C3 : t_E < 100 jours si t_0 < 3000 (réalignement optique)
- **●** C4 : \geq 4 points avec t_0 t_E < t < t_0 + t_E \geq 8 points avec t_0 $2t_E$ < t < t_0 + $2t_E$
- C5: $\frac{\chi_{base}^2}{N_{dof}}$ < 10
- C6: $\frac{t_0(bleu) t_0(rouge)}{t_E}$ < 0.4
- C7: $\frac{t_E(bleu)-t_E(rouge)}{t_E}$ < 0.3

Sélection des événements

distribution de u_0



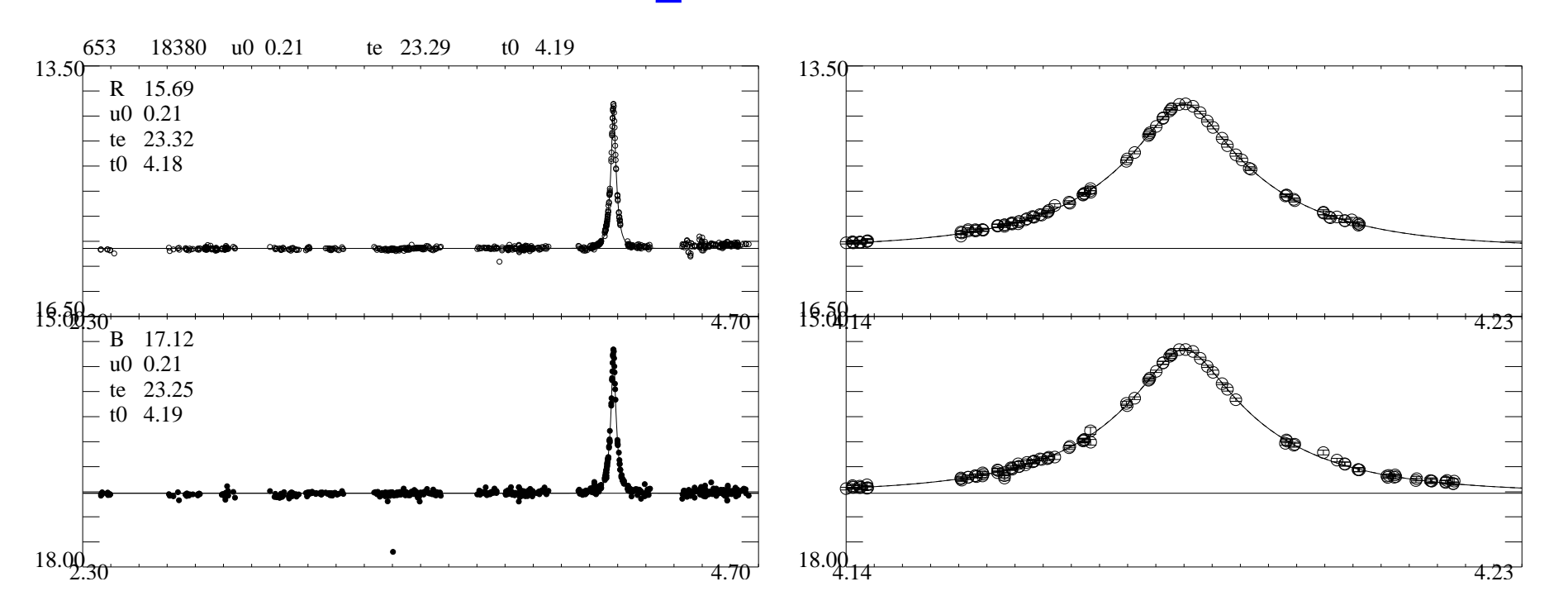
Compatibilité rouge/bleu



Candidats

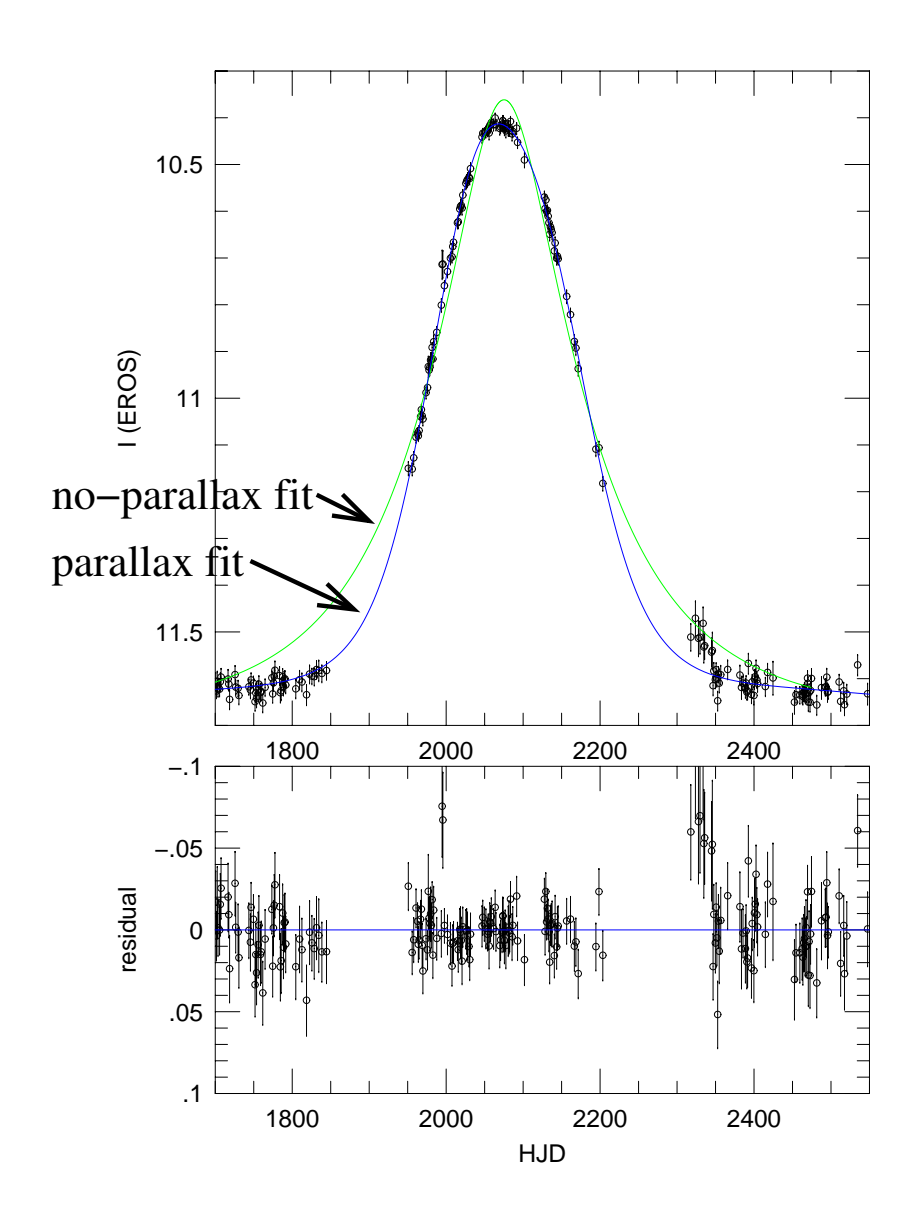
■ 120 candidats trouvés (source = géante rouge et $A_{max}>1.6$)

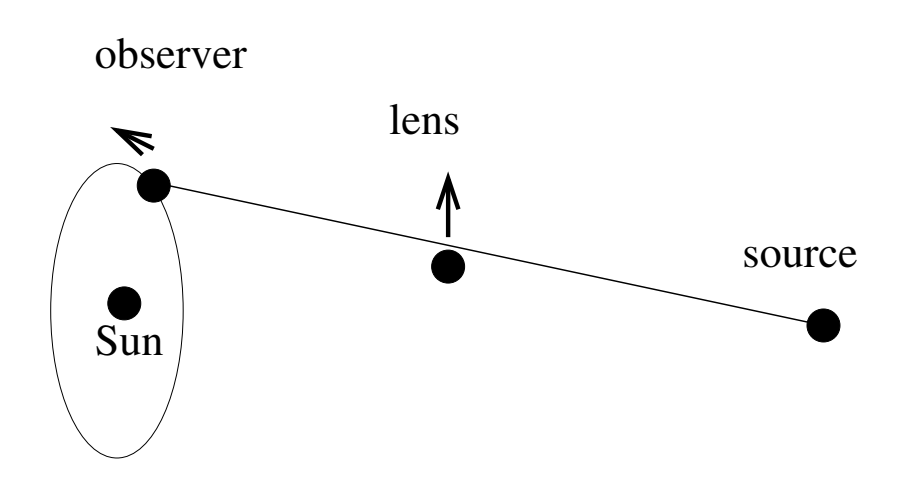
événement simple



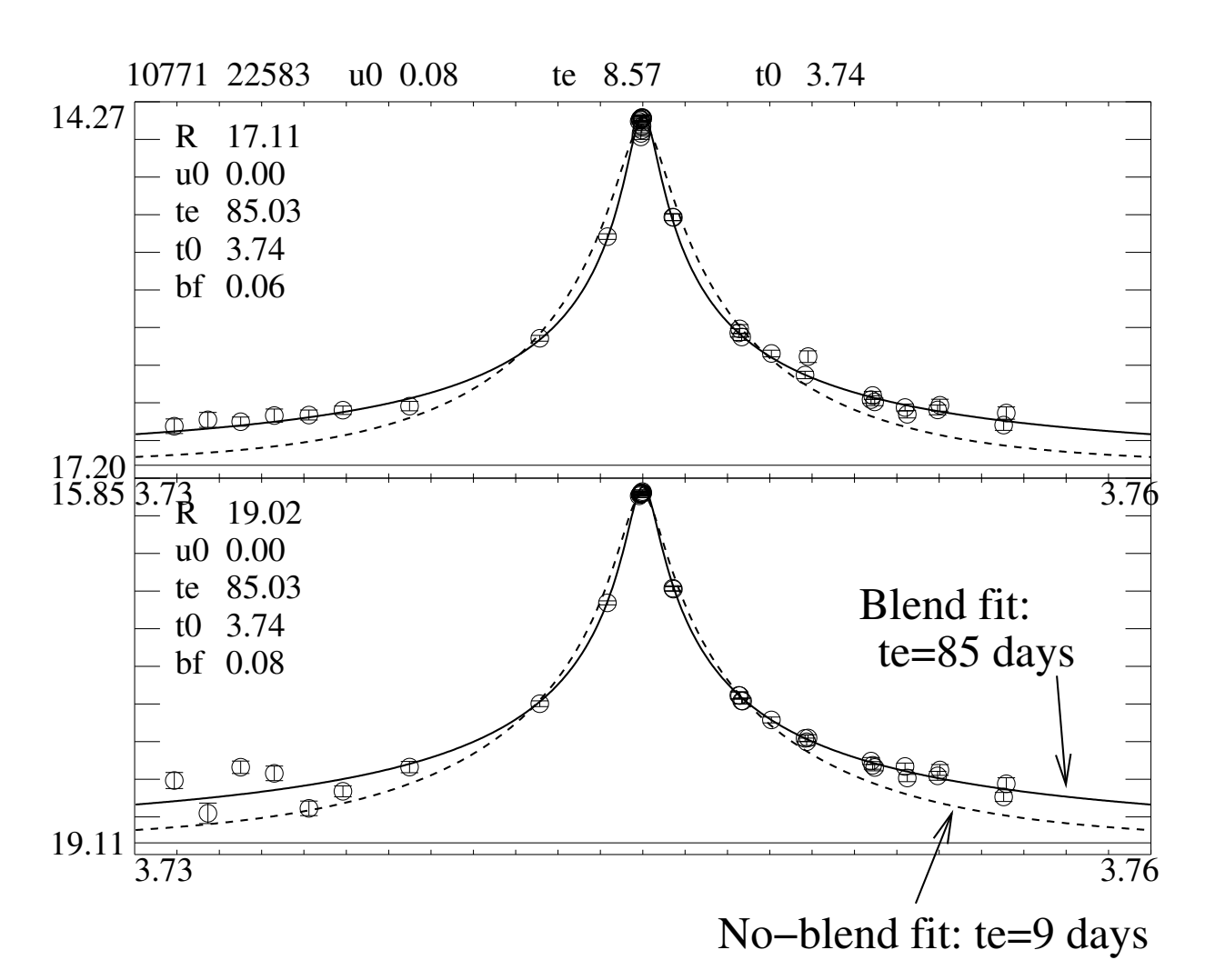
Clarisse Hamadache, CPPM, 22 mai 2006 – p.21/40

Un événement avec effet de parallaxe





Evénement fortement "blendé"



A dim star in the same pixel as the clump giant

Contributions

événements simples : 79%

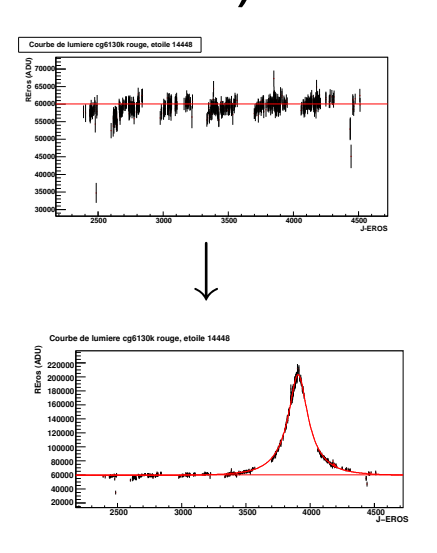
fort "blending": 3%

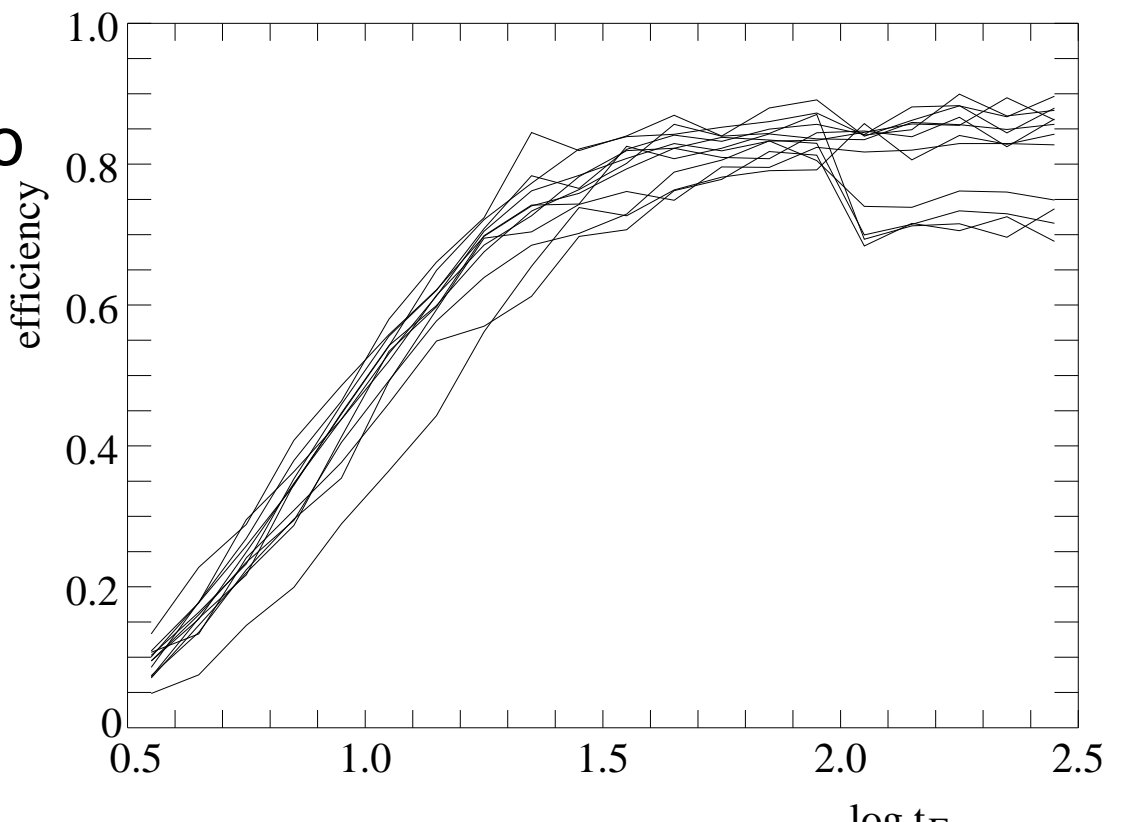
parallaxe: 11%

lentilles binaires : 7%

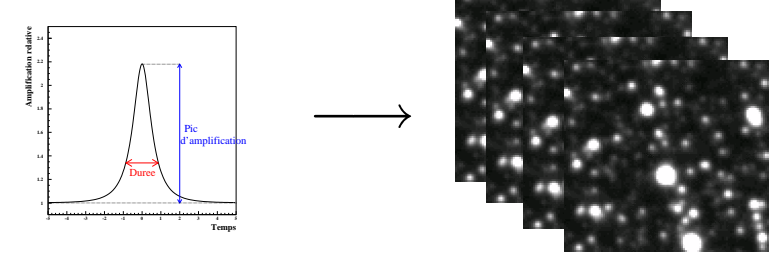
Simulations et efficacité de détection

Simulation Monte Carlo (standard)

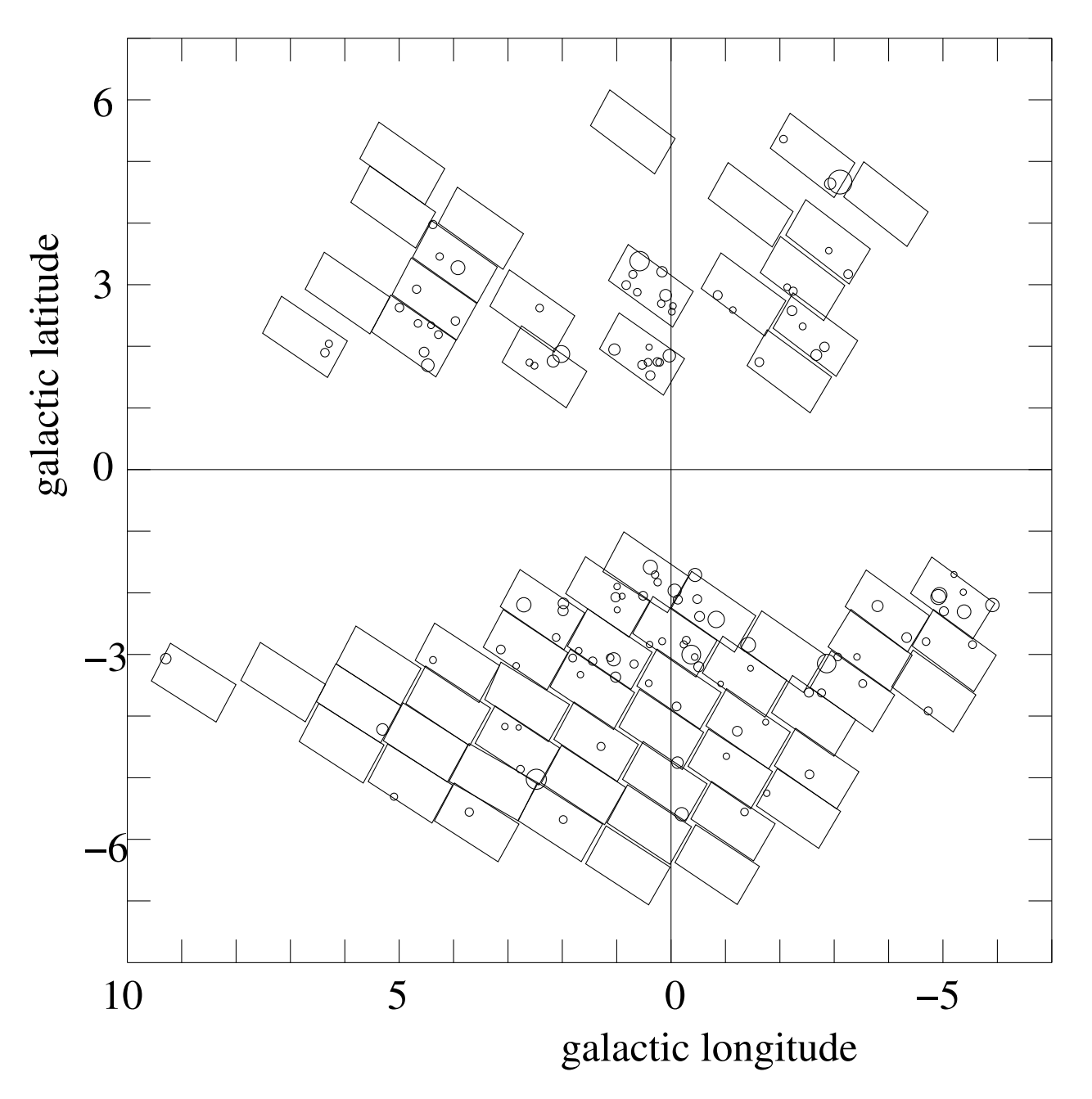




Simulation Monte Carlo d'images (quantifier l'effet de "blending")



Position des candidats

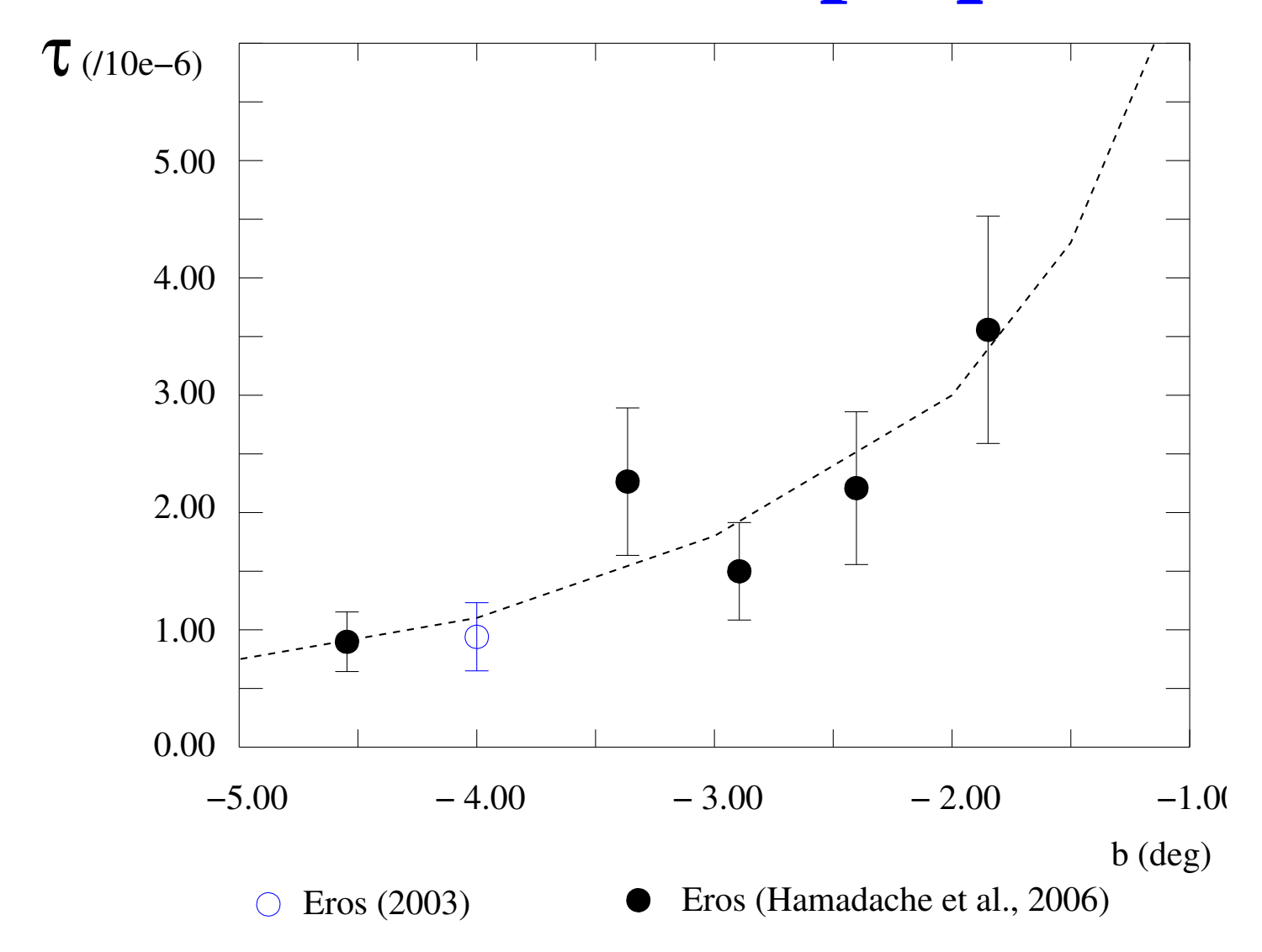


$$\tau = \frac{1}{N_{\star}T_{obs}} \frac{\pi}{2} \frac{1}{u_{0_{max}}} \sum_{cand} \frac{t_E}{\epsilon(t_E)}$$

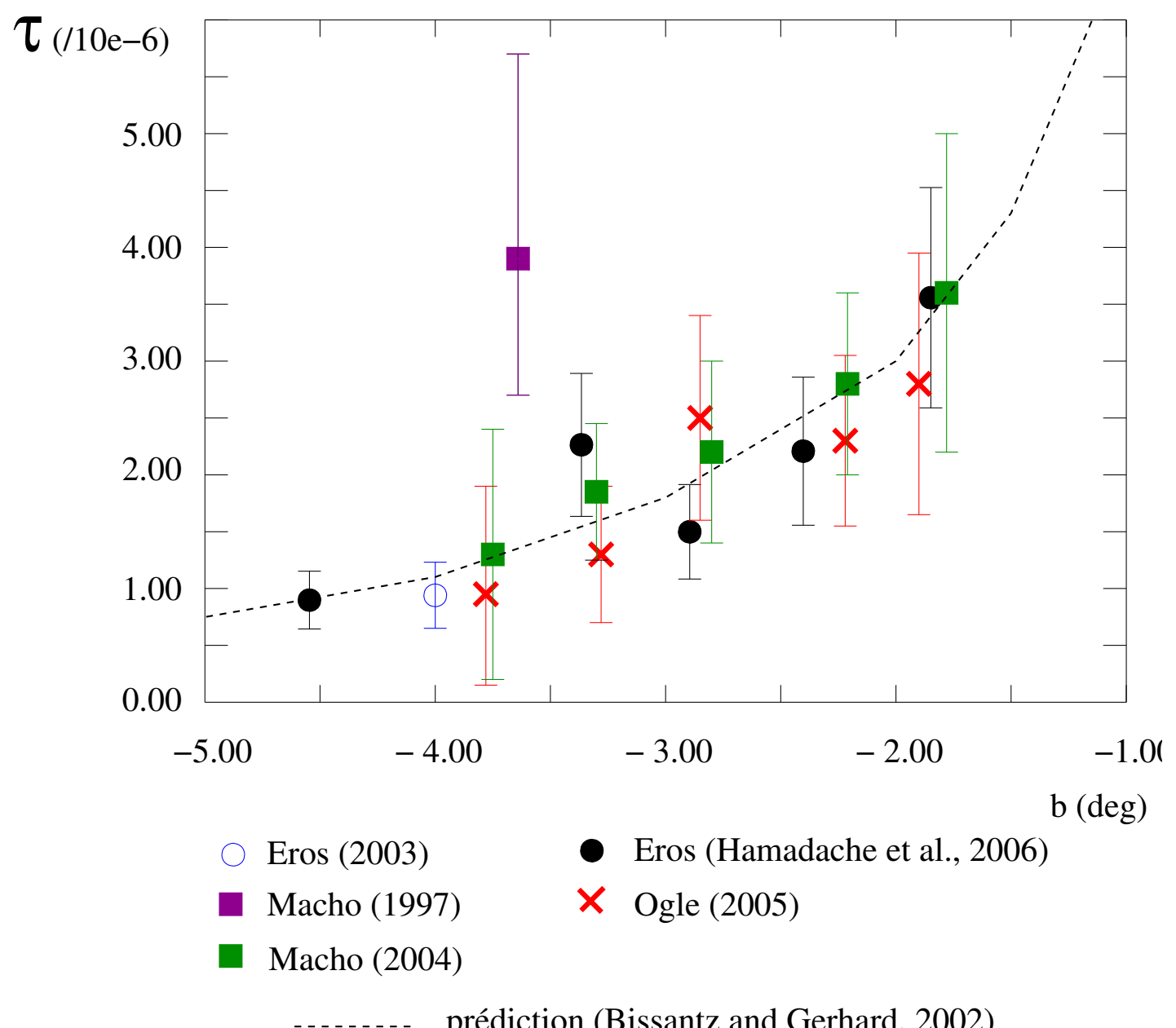
profondeur optique moyenne :

$$\tau = (1.68 \pm 0.23) \times 10^{-6}, \quad \langle |b| \rangle = 3.43^{\circ}$$

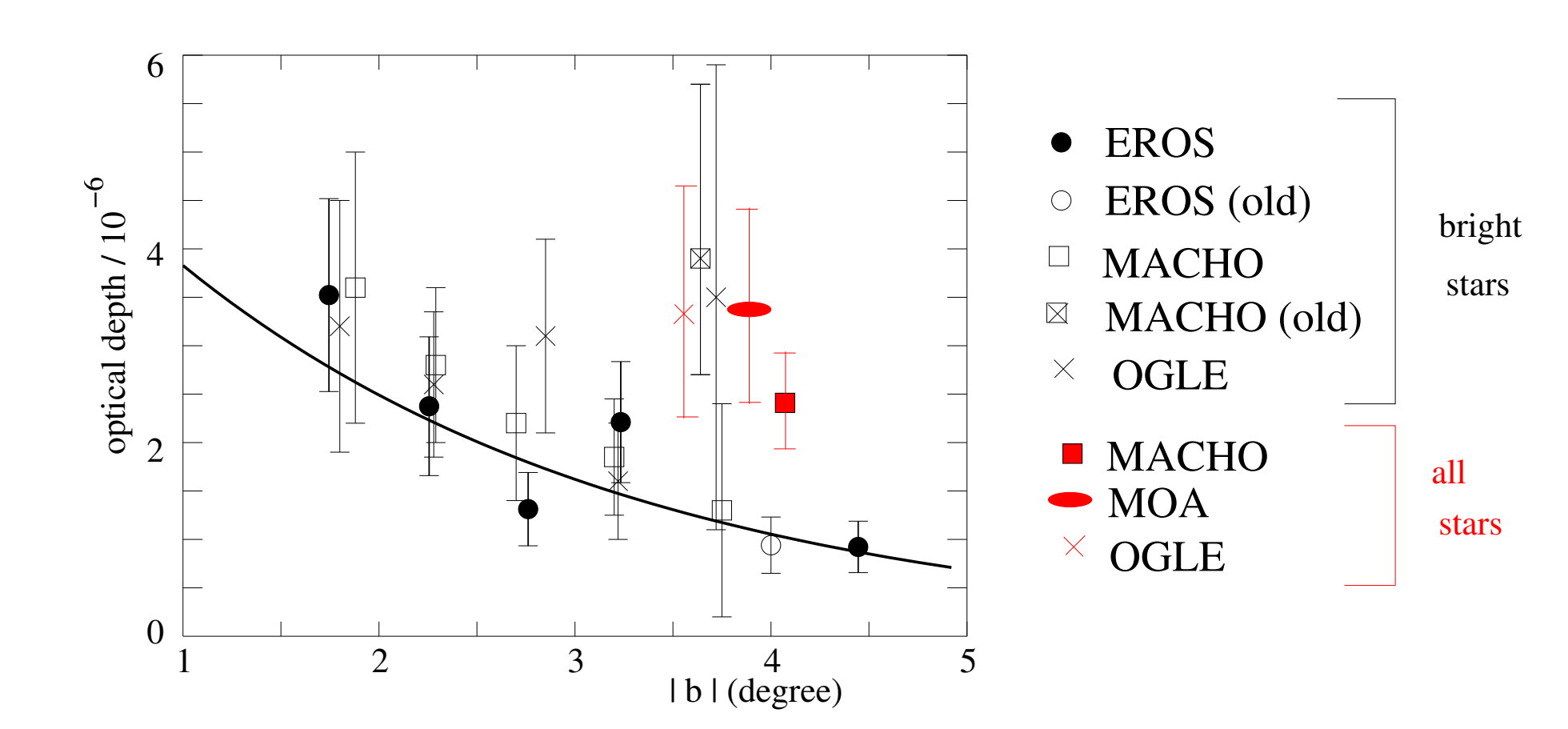
cf publication : Hamadache et al., astro-ph/0601510 acceptée dans A&A le 10/04/2006



prédiction (Bissantz and Gerhard, 2002)



prédiction (Bissantz and Gerhard, 2002)



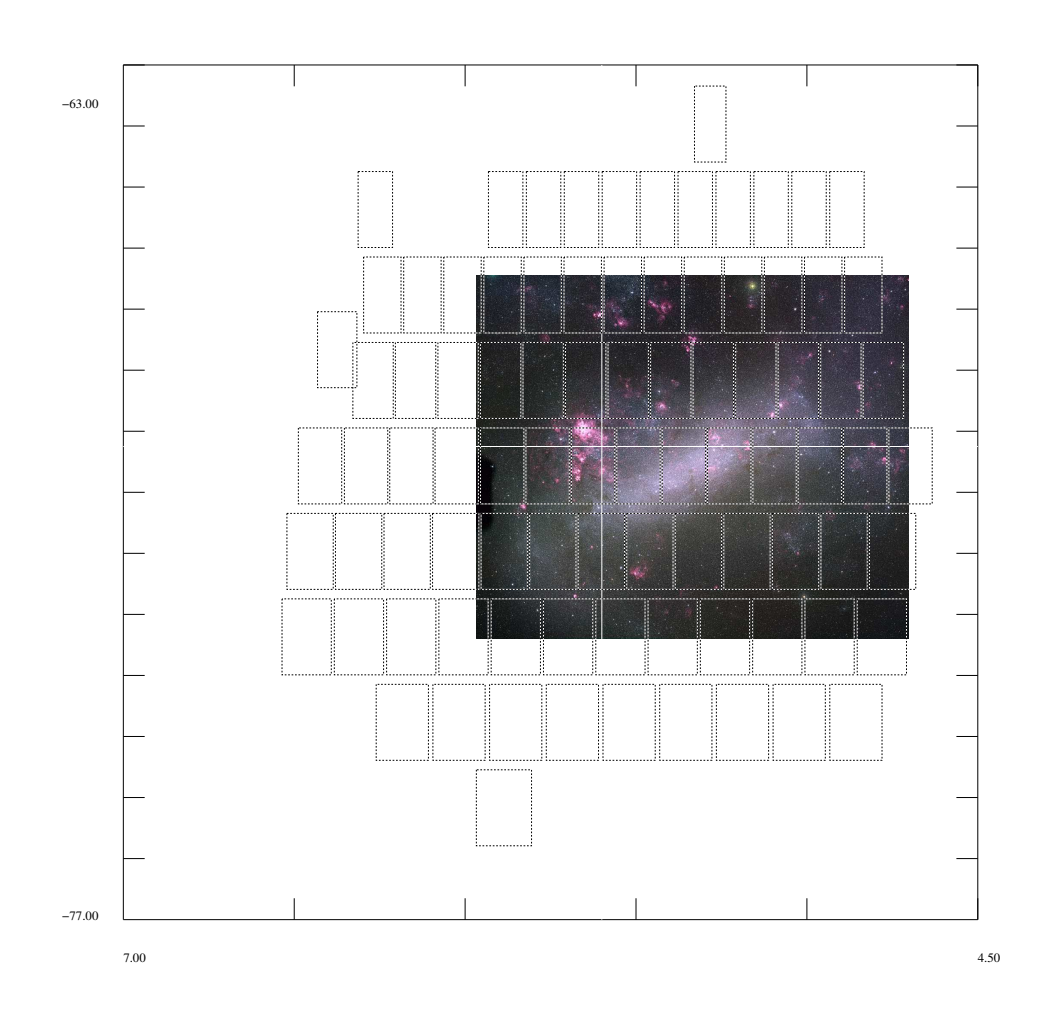
Vers les Nuages de Magellan **Analyse finale**

Macho(s): fraction du halo (historique)

Nuages de Magellan:

- MACHO (Alcock et al 2000) : 0.08 < f < 0.50 avec $0.15 m_{\odot} < M < 0.9 m_{\odot}$
- EROS (Afonso et al, 2003) f < 0.15 @ $M = 0.4m_{\odot}$
- EROS (Tisserand et al, à soumettre) f < 0.08 @ $M = 0.4m_{\odot}$

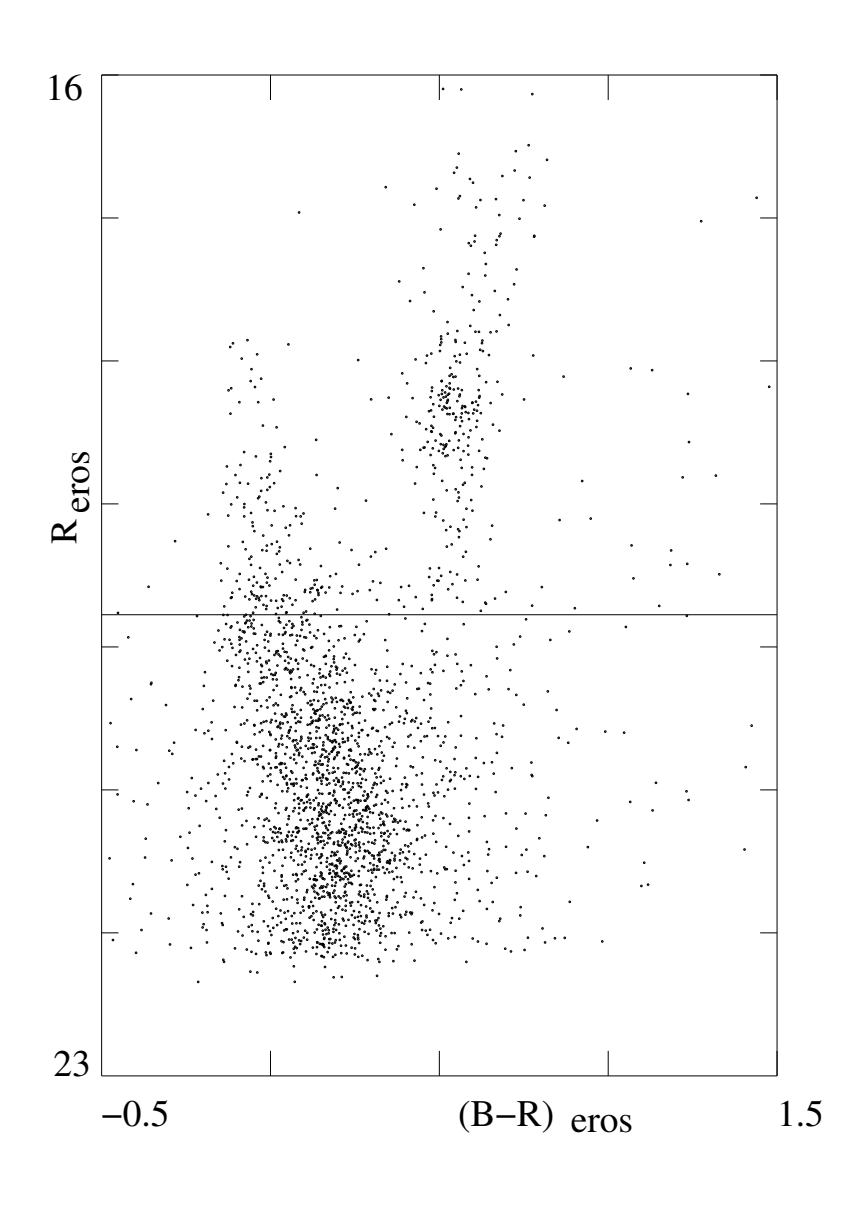
EROS-2: champs LMC (SMC)



88 deg², 29 millions d'étoiles suivies dont 6 millions de brillantes

SMC => 10 deg², 4 millions d'étoiles suivies dont 0,9 millions de brillantes

Les étoiles sources LMC (SMC)

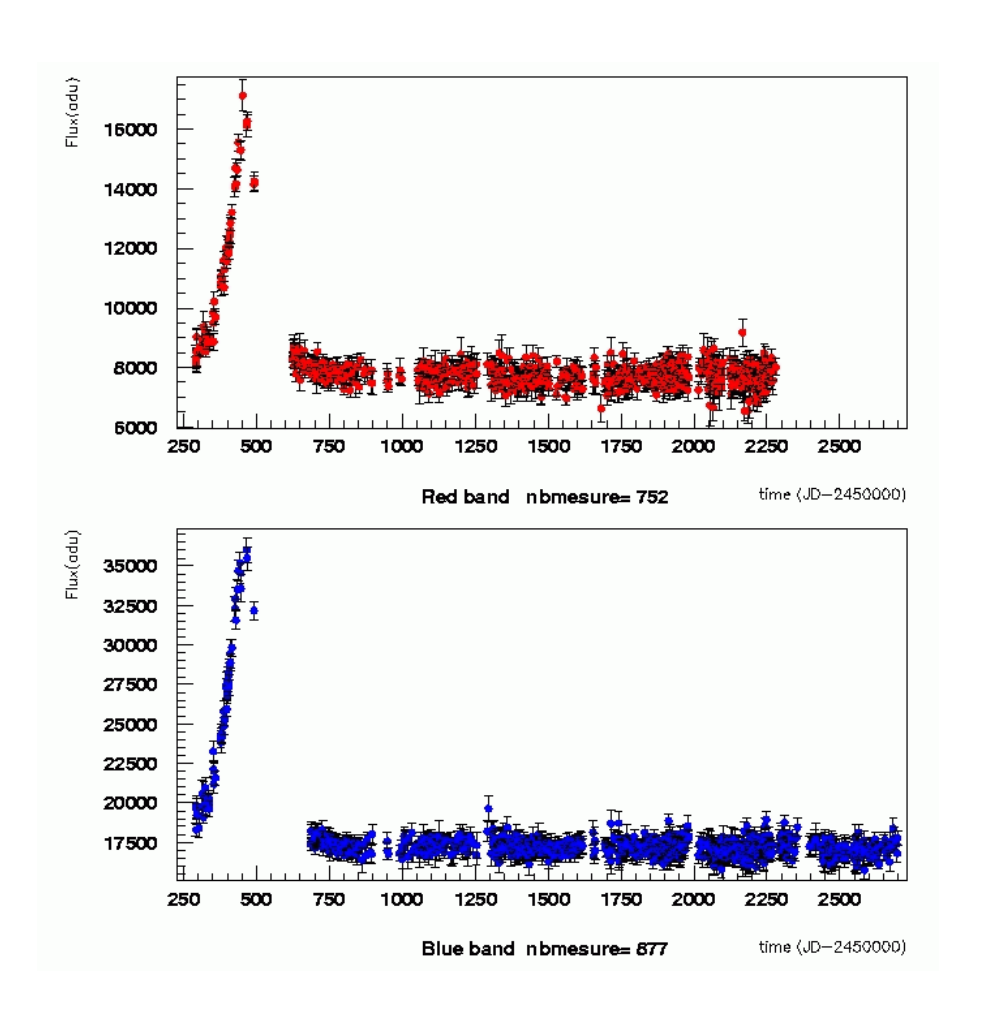


étoiles brillantes (difficulté d'interprêtation pour les candidats dont l'étoile source est faible)

Diagramme couleur-magnitude

Le seul candidat EROS

(étoile source brillante)



Source dans le SMC

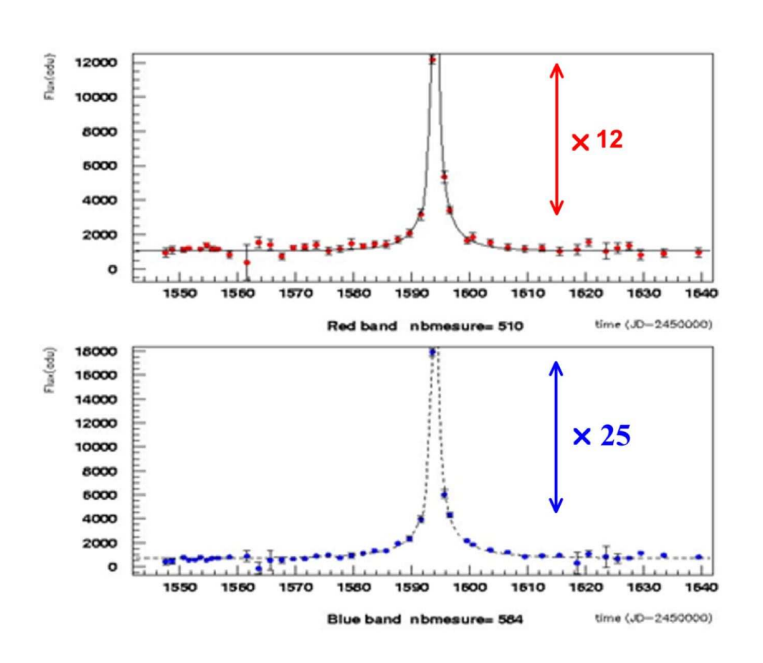
$$t_E = 125 jours$$

(plus long que tous les événements LMC)

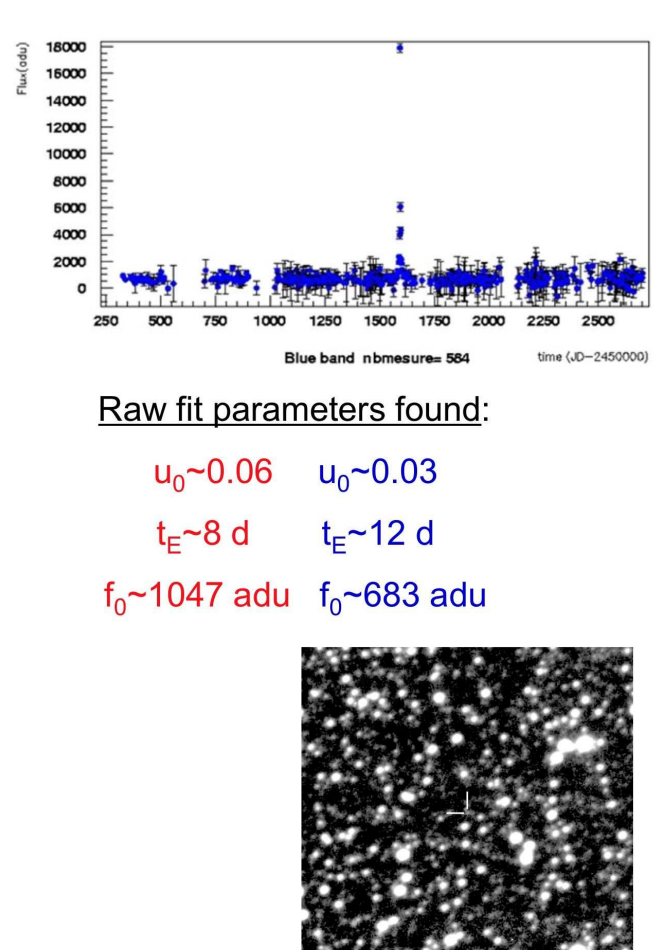
⇒ lentille dans le SMC? (compatible avec du self-lensing)

Un événement MACDO

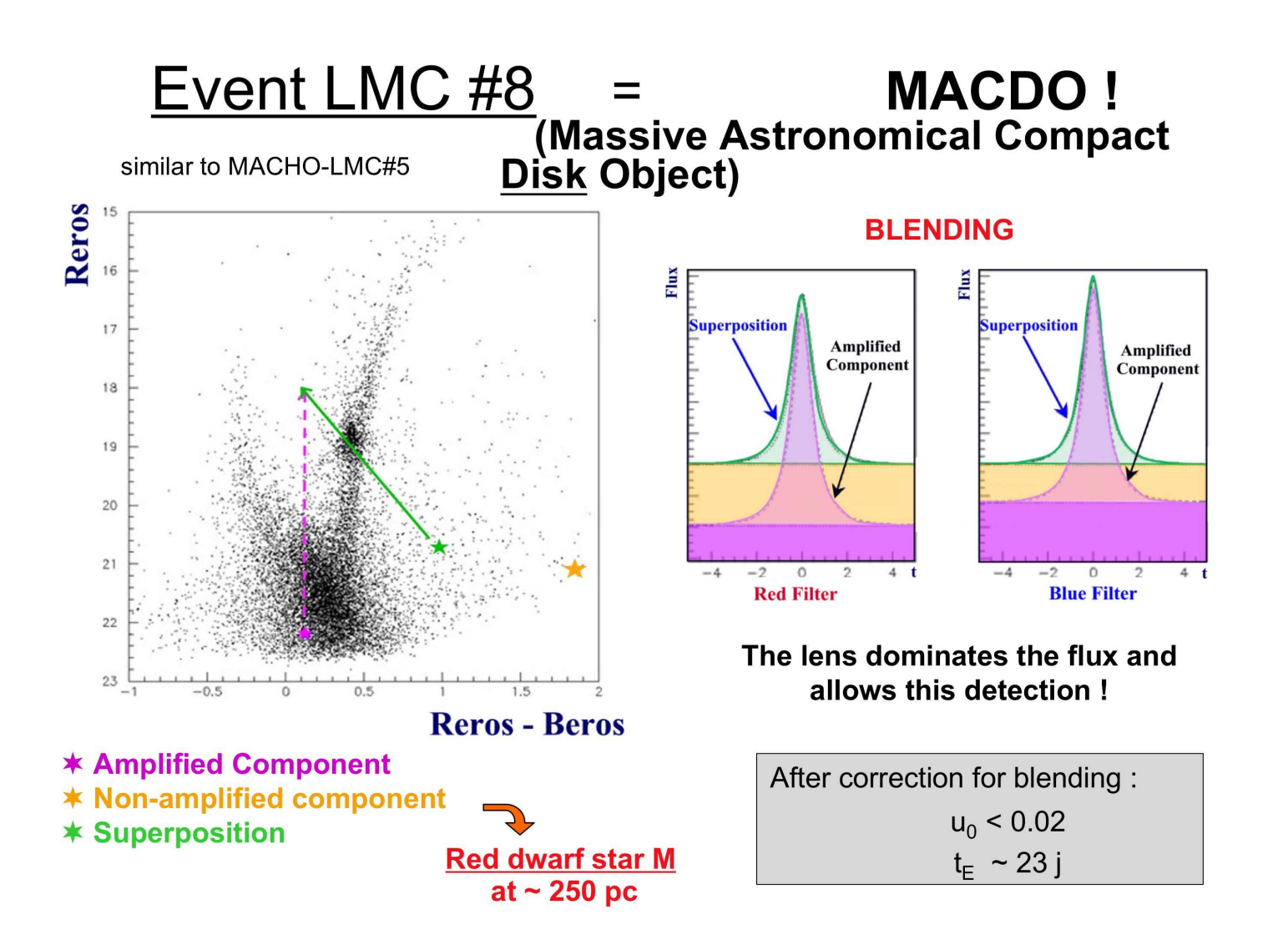
EROS2-LMC#8:



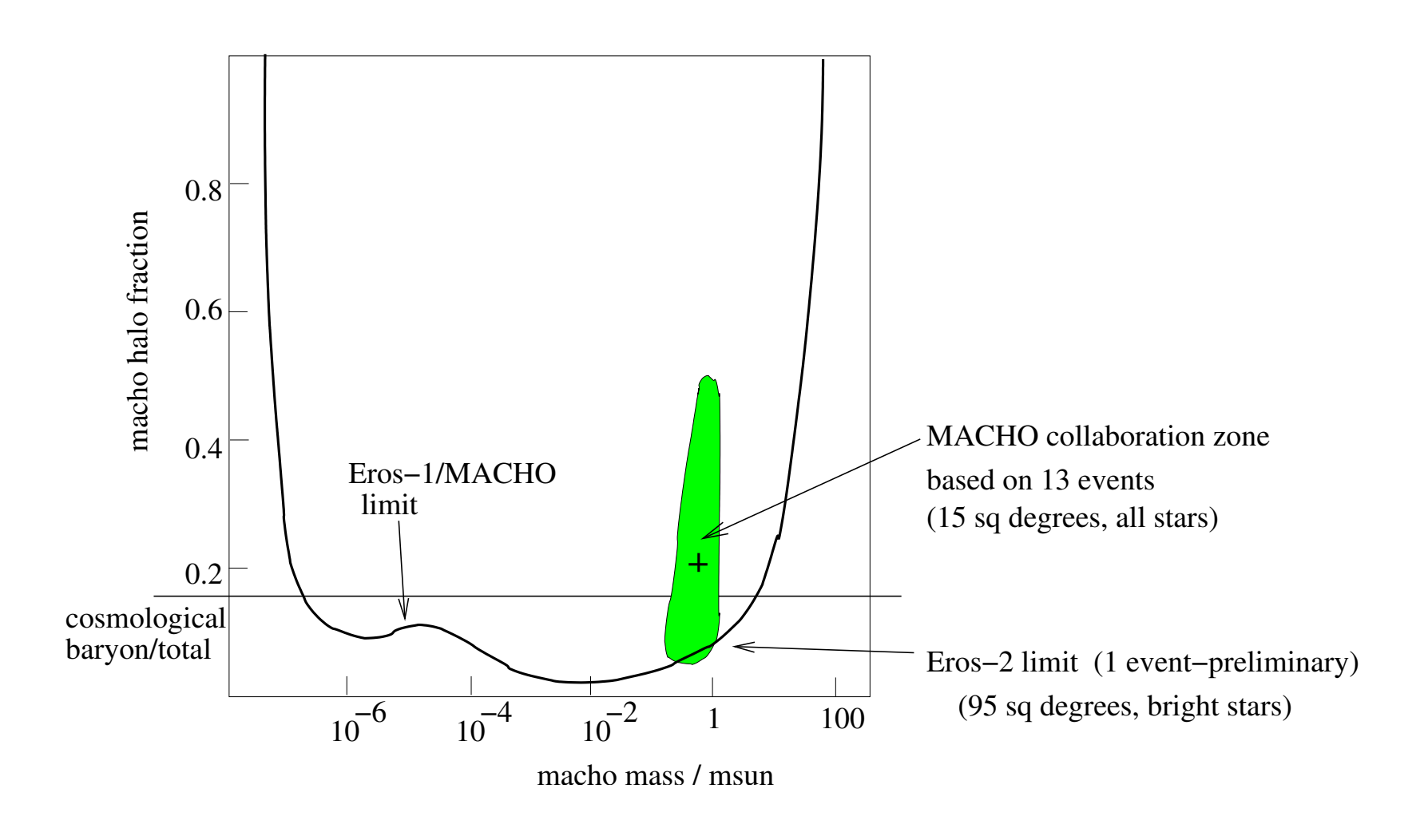
Increase by 3.5 magnitudes!



Un événement MACDO



Limite sur la fraction du halo composée de MACHO



Les 13 (+4) événements Macho dans les données EROS

- 13 événements avant le début d'EROS-2 (Juillet 1996)
- MACHO LMC-23: avant EROS-2 et nouvelle variation 7 ans plus tard chez EROS-2:
 ⇒ étoile variable.
- MACHO LMC-14 : événement vu mais étoile source non brillante
- MACHO LMC-15 : étoile source plus faible que le seuil EROS
- MACHO LMC-20 (candidat B) : événement vu mais étoile source non brillante

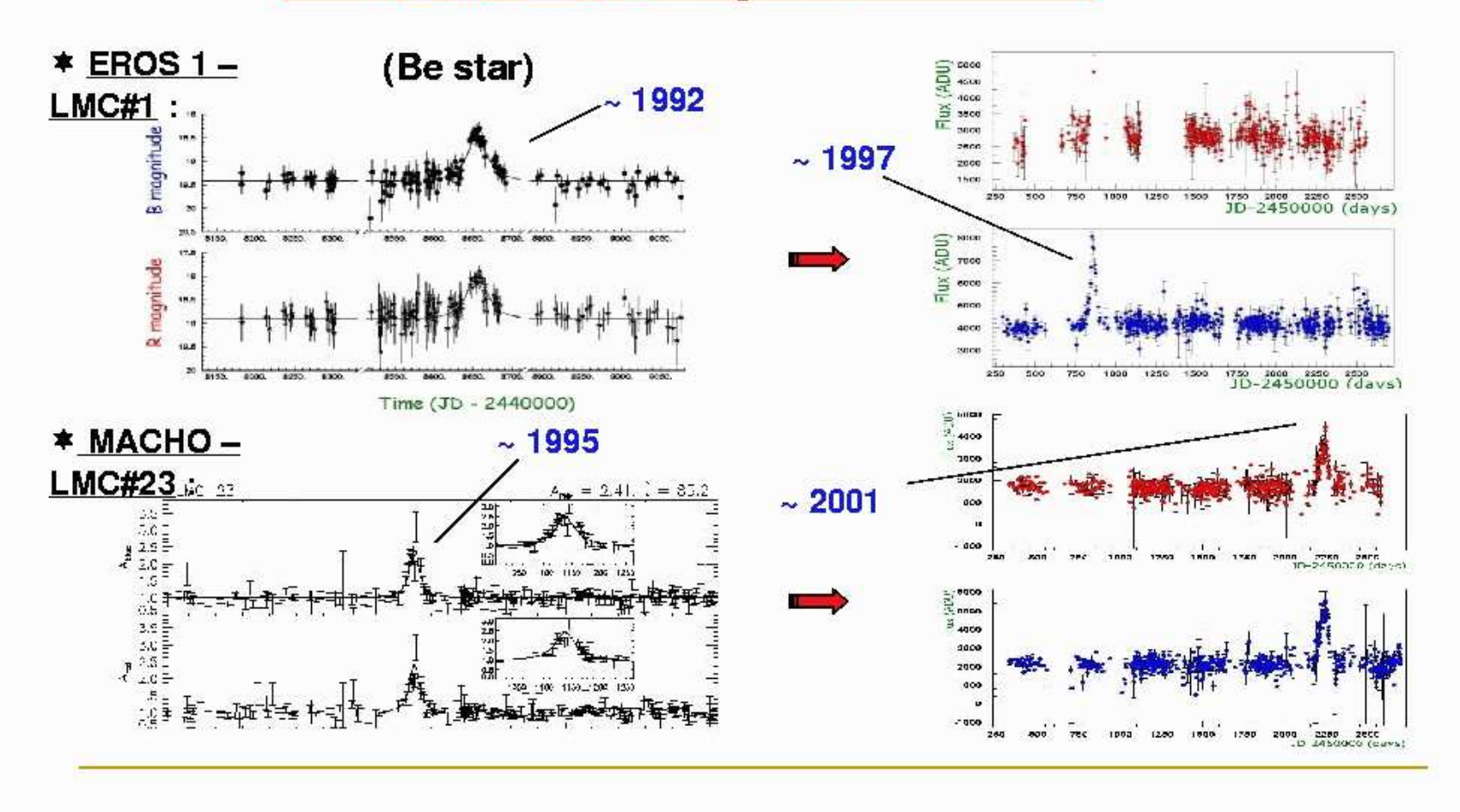
Candidates follow-up: longer baseline (+ 3 yrs)



3 candidates show a new bump a few years later !!

S Variable Stars = Fackground

Withdrawn!



P.Tisserand

MPIA Heidelberg, 20 February 2005

14

Origine possible du désaccord

- différence des populations d'étoile
- petit nombre d'événements (Macho, Eros)
- efficacité de détection sur-estimée (Eros)
- efficacité de détection sous-estimée (Macho)
- "blending" sous-estimé (Macho)
- contamination par des étoiles variables (Macho)
- self-lensing dans le LMC (Macho)

Conclusion

- Taux d'événements microlentille vers le centre galactique : les expériences sont en accord entres elles. Les modèles du disque et du bulbe galactique sont en accord avec les valeurs mesurées.
- Les MACHOs ne sont pas la principale composante du halo galactique $(10^{-7}m_{\odot} < M < 20m_{\odot})$